

# DEVOIR NUMÉRO 1 : NOEUDS TORIQUES

Le but de ce devoir est d'étudier le groupe fondamental et certains revêtements des noeuds toriques.

## NOTATIONS

Dans ce devoir, pour  $n \in \mathbf{N} \setminus \{0\}$ ,  $\mathbf{S}^n$  désignera la sphère unité de  $\mathbf{R}^{n+1}$ ,  $\mathbf{B}^n$  le disque unité fermé de  $\mathbf{R}^n$  et  $\mathfrak{S}_n$  le groupe des permutations d'un ensemble à  $n$  éléments. Enfin on considérera  $\mathbf{T}^2 = \mathbf{R}^2/\mathbf{Z}^2$  le tore de dimension 2 muni de sa projection canonique  $\pi : \mathbf{R}^2 \rightarrow \mathbf{T}^2$ . Pour  $p$  et  $q$  deux entiers naturels non tous deux nuls et premiers entre eux, on pose  $D_{p,q}$  la droite de  $\mathbf{R}^2$  d'équation  $qy = px$  et  $C_{p,q} = \pi(D_{p,q})$ .

## QUESTIONS

1. Montrer que l'application

$$\varphi : \begin{cases} \mathbf{R}^2 & \longrightarrow \\ (x, y) & \longmapsto \left( (\sqrt{2} + \cos(2\pi y)) \cos(2\pi x), (\sqrt{2} + \cos(2\pi y)) \sin(2\pi x), \sin(2\pi y) \right) \end{cases} \mathbf{R}^3$$

est une immersion  $C^\infty$  qui passe au quotient en une application  $\tilde{\varphi} : \mathbf{T}^2 \rightarrow \mathbf{R}^3$  qui est un homéomorphisme sur son image.

On identifiera ainsi  $C_{p,q}$  à un sous-ensemble de  $\mathbf{R}^3$  via  $\tilde{\varphi}$  dans la suite.

2. Rappeler à quel espace connu est homéomorphe  $C_{p,q}$  et tenter d'esquisser  $\tilde{\varphi}(C_{1,2})$ ,  $C_{2,3}$  et  $\tilde{\varphi}(C_{2,3})$ .  
On parle de noeud de trèfle pour  $C_{2,3}$ .
3. Montrer que les espaces  $\mathbf{R}^3 \setminus C_{1,q}$  avec  $q \geq 0$  sont tous homéomorphes.
4. On note  $s : \mathbf{R}^3 \rightarrow \mathbf{S}^3 \setminus \{N\}$  l'inverse de la projection stéréographique avec  $N$  le pôle nord de  $\mathbf{S}^3$ . Montrer que  $\mathbf{R}^3 \setminus C_{p,q}$  et  $\mathbf{S}^3 \setminus s(C_{p,q})$  sont connexes par arcs et que, pour tout  $\mathbf{x} \notin C_{p,q}$ ,  $\pi_1(\mathbf{R}^3 \setminus C_{p,q}, \mathbf{x}) \cong \pi_1(\mathbf{S}^3 \setminus s(C_{p,q}), N)$ .
5. On pose

$$A = \left\{ (x_1, x_2, x_3, x_4) \in \mathbf{S}^3 : x_1^2 + x_2^2 \geq \frac{1}{2} \right\} \quad \text{et} \quad B = \left\{ (x_1, x_2, x_3, x_4) \in \mathbf{S}^3 : x_1^2 + x_2^2 \leq \frac{1}{2} \right\}.$$

Montrer que  $A$  et  $B$  sont homéomorphes à  $\mathbf{S}^1 \times \mathbf{B}^2$  et que

$$\mathbf{S}^3 \cong (\mathbf{S}^1 \times \mathbf{B}^2) \cup_{\mathbf{S}^1 \times \mathbf{S}^1} (\mathbf{S}^1 \times \mathbf{B}^2) \quad \text{où} \quad (\mathbf{S}^1 \times \mathbf{B}^2) \cup_{\mathbf{S}^1 \times \mathbf{S}^1} (\mathbf{S}^1 \times \mathbf{B}^2) = \left( (\mathbf{S}^1 \times \mathbf{B}^2) \sqcup (\mathbf{S}^1 \times \mathbf{B}^2) \right) / \mathcal{R}$$

et  $\mathcal{R}$  est la relation d'équivalence engendrée par  $i_1(z_1, z_2) \mathcal{R} i_2(z_2, z_1)$  pour tous  $(z_1, z_2) \in \mathbf{S}^1 \times \mathbf{S}^1$  et  $i_j$  l'inclusion canonique de  $\mathbf{S}^1 \times \mathbf{S}^1$  dans la  $j$ -ième copie de  $\mathbf{S}^1 \times \mathbf{B}^2$  de la somme disjointe  $(\mathbf{S}^1 \times \mathbf{B}^2) \sqcup (\mathbf{S}^1 \times \mathbf{B}^2)$  pour  $j \in \{1, 2\}$ .

6. Calculer  $\pi_1(\mathbf{T}^2 \setminus C_{p,q}, x)$  pour tous  $p, q$  et tout  $x \in \mathbf{T}^2 \setminus C_{p,q}$ .
7. Dédire des questions précédentes que le groupe fondamental du noeud torique  $\pi_1(\mathbf{S}^3 \setminus s(C_{p,q}), N)$  admet comme présentation  $\langle a, b \mid a^p b^{-q} \rangle$ . Reconnaître ce groupe lorsque  $p$  ou  $q$  vaut 1.  
On notera  $G_{p,q}$  ce groupe.
8. (BONUS) Montrer que les sous-groupes  $\langle a^p \rangle$  et  $\langle b^q \rangle$  de  $G_{p,q}$  sont égaux.  
On notera alors  $C = \langle a^p \rangle = \langle b^q \rangle$ . Montrer que  $C$  est distingué dans  $G_{p,q}$  et que  $G_{p,q}/C$  est isomorphe à  $\mathbf{Z}/p\mathbf{Z} * \mathbf{Z}/q\mathbf{Z}$ .
9. (BONUS) Montrer que l'abélianisé de  $\mathbf{Z}/p\mathbf{Z} * \mathbf{Z}/q\mathbf{Z}$  est  $\mathbf{Z}/p\mathbf{Z} \times \mathbf{Z}/q\mathbf{Z}$  et que l'ordre maximum d'un élément de torsion<sup>2</sup> dans  $\mathbf{Z}/p\mathbf{Z} * \mathbf{Z}/q\mathbf{Z}$  est  $\max(p, q)$ . En déduire que les groupes  $G_{p,q}$  avec  $1 < p < q$  et  $\text{pgcd}(p, q) = 1$  sont deux à deux non isomorphes. Qu'en déduisez-vous quant aux espaces  $\mathbf{S}^3 \setminus C_{p,q}$  avec  $1 < p < q$  et  $\text{pgcd}(p, q) = 1$ ?

Soient  $X$  un espace topologique connexe par arcs, localement connexe par arcs et semi-localement simplement connexe ayant un groupe fondamental de présentation finie,  $x \in X$  et  $n \in \mathbf{N} \setminus \{0\}$ . On note  $\text{Hom}_{\text{tr}}(\pi_1(X, x), \mathfrak{S}_n)$  l'ensemble des homomorphismes de groupes  $\rho : \pi_1(X, x) \rightarrow \mathfrak{S}_n$  tel que le groupe image agisse transitivement sur  $\{1, \dots, n\}$ . Cela fournit une action transitive de  $\pi_1(X, x)$  sur  $\{1, \dots, n\}$  par  $[\alpha] \cdot k = \rho([\alpha])(k)$  pour  $[\alpha] \in \pi_1(X, x)$  et  $k \in \{1, \dots, n\}$ .

10. Soit  $\rho \in \text{Hom}_{\text{tr}}(\pi_1(X, x), \mathfrak{S}_n)$ . Montrer que  $H_1$ , le stabilisateur de 1, est d'indice  $n$  dans  $\pi_1(X, x)$ . Que pouvez-vous en déduire pour le revêtement connexe  $p : E \rightarrow X$  associé à  $H_1$ ? Préciser notamment le groupe  $p_*(\pi_1(E, 1))$  en identifiant la fibre  $p^{-1}(x)$  avec  $\{1, \dots, n\}$  et quand il est galoisien. Montrer que, réciproquement, à tout revêtement connexe  $p$  à  $n$  feuillets de  $X$  correspond un morphisme  $\rho_p \in \text{Hom}_{\text{tr}}(\pi_1(X, x), \mathfrak{S}_n)$ .
11. On définit une relation d'équivalence sur  $\text{Hom}_{\text{tr}}(\pi_1(X, x), \mathfrak{S}_n)$  par  $\rho \sim \rho'$  si et seulement s'il existe  $\sigma \in \mathfrak{S}_n$  tel que pour tout  $[\gamma] \in \pi_1(X, x)$ ,  $\rho([\gamma]) = \sigma \rho'([\gamma]) \sigma^{-1}$ . Montrer que deux revêtements connexes  $p$  et  $p'$  à  $n$  feuillets de  $X$  sont isomorphes si et seulement si  $\rho_p \sim \rho_{p'}$ .
12. En déduire quel est l'ensemble des classes d'isomorphismes de revêtements connexes à 3 feuillets du noeud de trèfle  $C_{2,3}$ , autrement dit de revêtements connexes à 3 feuillets de  $\mathbf{S}^3 \setminus s(C_{2,3})$ , en précisant lesquels sont galoisiens.

**BARÈME**– (note sur 10) : 1-0,5-0,5-1-1,25-1,25-1,5-(0,75-0,75)-1,25-1-1,25

1. On parle de tore plein.

2. On pourra commencer par établir par récurrence sur la longueur d'un mot qu'un élément de torsion est conjugué à un élément de torsion de  $\mathbf{Z}/p\mathbf{Z}$  ou de  $\mathbf{Z}/q\mathbf{Z}$ .

# CORRIGÉ

1. La fonction  $\varphi$  est clairement de classe  $C^\infty$  et sa matrice jacobienne en  $(x, y) \in \mathbf{R}^2$  est donnée par

$$\begin{pmatrix} -2\pi(\sqrt{2} + \cos(2\pi y)) \sin(2\pi x) & -2\pi \sin(2\pi y) \cos(2\pi x) \\ 2\pi(\sqrt{2} + \cos(2\pi y)) \cos(2\pi x) & -2\pi \sin(2\pi y) \sin(2\pi x) \\ 0 & 2\pi \cos(2\pi y) \end{pmatrix}.$$

Si  $\cos(2\pi y) \neq 0$ , alors  $-2\pi(\sqrt{2} + \cos(2\pi y)) \sin(2\pi x) \neq 0$  ou  $2\pi(\sqrt{2} + \cos(2\pi y)) \cos(2\pi x) \neq 0$  ce qui implique que la matrice est de rang 2, autrement dit que  $d\varphi_{(x,y)}$  est injective. Lorsque  $\cos(2\pi y) = 0$ , on obtient

$$\begin{pmatrix} -2\pi\sqrt{2} \sin(2\pi x) & \pm 2\pi \cos(2\pi x) \\ 2\pi\sqrt{2} \cos(2\pi x) & \pm 2\pi \sin(2\pi x) \\ 0 & 0 \end{pmatrix}$$

et le mineur  $2 \times 2$  constitué des deux premières lignes vaut  $\pm 4\sqrt{2}\pi^2 \neq 0$  et la matrice est également de rang 2 et  $d\varphi_{(x,y)}$  est injective. Dans tous les cas, on obtient bien une immersion  $C^\infty$ .

On a clairement que pour tous  $(x, y), (x', y') \in \mathbf{R}^2$ ,

$$\varphi(x, y) = \varphi(x', y') \iff (x, y) - (x', y') \in \mathbf{Z}^2.$$

En effet la réciproque est évidente et pour le sens direct, la condition  $\sin(2\pi y) = \sin(2\pi y')$  implique que  $y - y' \in \mathbf{Z}$  auquel cas  $\cos(2\pi x) = \cos(2\pi x')$  et  $\sin(2\pi x) = \sin(2\pi x')$  donc  $x - x' \in \mathbf{Z}$  ou  $y + y' \in \frac{1}{2} + \mathbf{Z}$  et  $\cos(2\pi y') = -\cos(2\pi y)$  ce qui implique, puisque  $(\sqrt{2} + \cos(2\pi y)) \cos(2\pi x) = (\sqrt{2} - \cos(2\pi y)) \cos(2\pi x')$  et  $(\sqrt{2} + \cos(2\pi y)) \sin(2\pi x) = (\sqrt{2} - \cos(2\pi y)) \sin(2\pi x')$ , que

$$(\sqrt{2} + \cos(2\pi y))^2 = (\sqrt{2} - \cos(2\pi y))^2 \text{ soit } \cos(2\pi y) = 0.$$

Ainsi, on a  $y \in \frac{1}{4} + \mathbf{Z}$  et  $y' \in \frac{1}{4} + \mathbf{Z}$  si bien que  $y - y' \in \mathbf{Z}$ . Finalement,  $\cos(2\pi x) = \cos(2\pi x')$  et  $\sin(2\pi x) = \sin(2\pi x')$  donc  $x - x' \in \mathbf{Z}$ . On a donc bien l'équivalence et ainsi  $\phi$  fournit par passage au quotient une application injective continue  $\tilde{\varphi} : \mathbf{T}^2 \rightarrow \mathbf{R}^3$ . L'image de  $\tilde{\varphi}$  est séparé (car  $\mathbf{R}^3$  l'est) et  $\mathbf{T}^2$  est compact donc on en déduit qu'il s'agit d'un homéomorphisme sur son image!

2. On a démontré en TD que dans ce cas,  $C_{p,q}$  est homéomorphe à  $\mathbf{S}^1$ . Je vous renvoie [ici](#) pour des dessins et des représentations graphiques. Je vous renvoie également aux pages Wikipedia du [trefoil knot](#) et du [overhand knot](#).
3. On constate sur les dessins que les noeuds  $C_{1,q}$  et en fait aussi les  $C_{p,1}$  sont des "noeuds triviaux" dans le sens qu'on peut aisément voir qu'on peut les déplier de façon continue et continûment réversible sur un cercle (que l'on peut prendre égal à  $C_{1,0}$  qui est le cercle donné par  $(x - \sqrt{2})^2 + z^2 - 1 = y = 0$  par exemple). Ainsi, pour tout  $q \geq 0$ , il existe un homéomorphisme  $f : \mathbf{R}^3 \rightarrow \mathbf{R}^3$  vérifiant  $f(C_{1,q}) = C_{1,0}$ . On a donc bien que pour tout  $q \geq 0$ ,  $\mathbf{R}^3 \setminus C_{1,q} \cong \mathbf{R}^3 \setminus C_{1,0}$ . Noter que  $C_{p,q}$  est donné par

$$\left\{ ((\sqrt{2} + \cos(2\pi pt)) \cos(2\pi qt), (\sqrt{2} + \cos(2\pi pt)) \sin(2\pi qt), \sin(2\pi pt)) : t \in \mathbf{R} \right\}.$$

Il n'est alors pas facile de décrire explicitement un tel homéomorphisme et on ne le fera pas ici. On a que l'application

$$\psi : \begin{cases} \mathbf{R}^2 & \longrightarrow \mathbf{S}^3 \\ (x, y) & \longmapsto \frac{1}{\sqrt{2}} \begin{pmatrix} \cos(2\pi x) \\ \sin(2\pi x) \\ \cos(2\pi y) \\ \sin(2\pi y) \end{pmatrix} \end{cases}$$

est une immersion  $C^\infty$  qui fournit au quotient une application  $\tilde{\psi} : \mathbf{T}^2 \rightarrow \mathbf{S}^3$  qui est un homéomorphisme sur son image. On constate alors que  $C_{p,q}$  correspond à

$$\left\{ \frac{1}{\sqrt{2}} (z^q, z^p) : z \in \mathbf{S}^1 \right\}.$$

Noter que l'homéomorphisme de  $\mathbf{S}^3$  donné par  $(x_1, x_2, x_3, x_4) \mapsto (x_3, x_4, x_1, x_2)$  envoie  $C_{p,q}$  sur  $C_{q,p}$  de sorte que  $\mathbf{S}^3 \setminus C_{p,q} \cong \mathbf{S}^3 \setminus C_{q,p}$  et donc  $\mathbf{R}^3 \setminus C_{p,q} \cong \mathbf{R}^3 \setminus C_{q,p}$ . On dit que les deux noeuds sont *équivalents*, ce qui n'est pas complètement évident à partir des dessins de  $C_{2,3}$  et de  $C_{3,2}$  par exemple et cela permet peut être de voir plus clairement l'homéomorphisme entre  $\mathbf{R}^3 \setminus C_{p,1}$  et  $\mathbf{R}^3 \setminus \mathbf{S}^1$ . On a de même avec  $(x, y, z) \mapsto (x, y, -z)$  est un homéomorphisme de  $\mathbf{R}^3$  qui envoie  $C_{p,q}$  sur  $C_{p,-q}$  et  $(x, y, z) \mapsto (x, -y, z)$  est un homéomorphisme de  $\mathbf{R}^3$  qui envoie  $C_{p,q}$  sur  $C_{-p,q}$ . Il suffit donc à présent d'étudier les noeuds  $C_{p,q}$  avec  $1 < p < q$  et  $\text{pgcd}(p, q) = 1$ .

4. On rappelle que pour tout  $(x, y, z) \in \mathbf{R}^3$ , on a que  $s$  est un homéomorphisme de  $\mathbf{R}^3$  sur  $\mathbf{S}^3 \setminus \{N\}$  donné par

$$s(x, y, z) = \left( \frac{2x}{1+S}, \frac{2y}{1+S}, \frac{2z}{1+S}, \frac{S-1}{1+S} \right) \text{ avec } S = x^2 + y^2 + z^2.$$

### compliments sur la question 3

On peut expliciter l'homomorphisme comme suit:  
 par ce qui précède, il suffit de traiter  $\mathbb{R}^3 - C_{q,1}$ .

On a alors en identifiant  $\mathbb{R}^3 = \mathbb{C} \times \mathbb{R}$ ,

$$C_{q,1} = \left( (\sqrt{2} + \cos(2\pi qn)) e^{2i\pi n}, \sin(2\pi qn) \right)$$

On pose alors

$$f: \mathbb{R}^3 \longrightarrow \mathbb{R}^3$$

$$(r e^{2i\pi n}, z) \longmapsto \left( \frac{(\sqrt{2}+1)r}{\sqrt{2}+\cos(2\pi qn)} e^{2i\pi n}, z \right)$$

$(0, z) \mapsto (0, z)$   
 qui est un homio vérifiant

$$f(C_{q,1}) = \left( (\sqrt{2}+1) e^{2i\pi n}, \sin(2\pi qn) \right).$$

$$\psi: \mathbb{R}^3 \longrightarrow \mathbb{R}^3$$

$$(r e^{2i\pi n}, z) \longmapsto \left( r e^{2i\pi n}, z - \frac{r}{\sqrt{2}+1} \sin(2\pi qn) \right)$$

$$(0, z) \longmapsto (0, z)$$

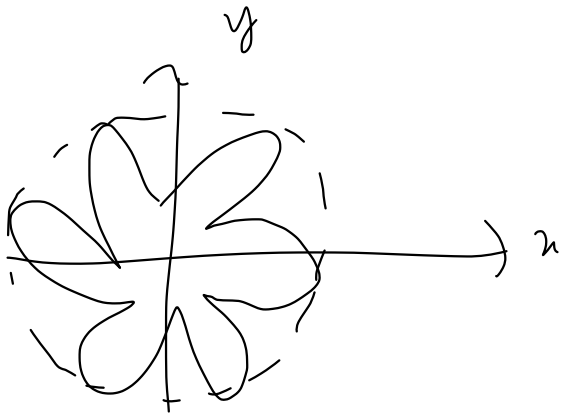
est un homio tq

$$\psi \left( (\sqrt{2}+1) e^{2i\pi n}, \sin(2\pi qn) \right) = \left( (\sqrt{2}+1) e^{2i\pi n}, 0 \right) = C_{0,1}$$

On a donc  $\mathbb{R}^3 - C_{q,1} \simeq \mathbb{R}^3 - C_{0,1}$  et

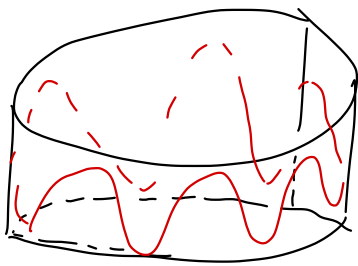
donc  $\mathbb{R}^3 - C_{1,q} \simeq \mathbb{R}^3 - C_{1,0} \simeq \mathbb{R}^3 - S^1$ .

Dans l'étape 1, on projette sur le plan  $(Oxy)$   
et on obtient des courbes du type



que l'on envoie  
continûment sur  
le cercle pointillé.

Après avoir appliqué  $f$ , on obtient



et il n'y a plus qu'à

"aplatir" tout ça sur le cercle de  
bas via  $\psi$ .

On pouvait bien sûr raisonner "à la main" en distinguant selon que les points sont sur  $\mathbf{T}^2 \setminus C_{p,q}$  ou pas mais on donne ici une démonstration plus rigoureuse qui est un cas particulier du résultat plus général suivant : pour toute variété  $M$  connexe de dimension  $n \geq 2$  et  $N$  sous-variété de dimension au plus  $n - 2$ , alors  $M \setminus N$  est connexe<sup>3</sup>.

On a que  $\tilde{\varphi}(C_{p,q}) = \varphi(D_{p,q})$  est l'image d'un compact par une application continue donc est compact (donc fermé) de  $\mathbf{R}^3$ . Par ailleurs,  $\varphi$  étant une immersion  $C^\infty$ , on en déduit que  $\tilde{\varphi}(C_{p,q})$  est une sous-variété fermée  $C^\infty$  de dimension 1 de  $\mathbf{R}^3$ . Ainsi,  $\mathbf{R}^3 \setminus C_{p,q}$  est un ouvert et pour tous  $\mathbf{x}, \mathbf{y} \in \mathbf{R}^3 \setminus C_{p,q}$ , il existe deux boules ouvertes (donc connexes par arcs)  $U_{\mathbf{x}}$  et  $U_{\mathbf{y}}$  contenant respectivement  $\mathbf{x}$  et  $\mathbf{y}$ . On note alors  $\mathcal{D}$  la droite passant par  $\mathbf{x}$  et  $\mathbf{y}$ . On note alors  $\mathcal{P}$  le plan orthogonal à  $\mathcal{D}$  contenant  $(0, 0, 0)$  et  $p : \mathbf{R}^3 \rightarrow \mathcal{P}$  la projection orthogonale sur  $\mathcal{P}$ . On voit que  $p$  est une application ouverte<sup>4</sup> et donc fermée car surjective. Ainsi,  $p(U_{\mathbf{x}})$  et  $p(U_{\mathbf{y}})$  sont deux ouverts de  $\mathcal{P}$  qui se rencontrent car ils contiennent tous les deux  $p(\mathbf{x}) = p(\mathbf{y})$ . Par ailleurs,  $p : C_{p,q} \rightarrow \mathcal{P}$  est de classe  $C^\infty$  car restriction de  $p$  linéaire à la sous-variété de dimension 1  $C_{p,q}$  et le lemme de Sard implique alors que  $p(C_{p,q})$  est un fermé de mesure nulle dans  $\mathcal{P}$ . Ainsi,  $\mathcal{P} \setminus p(C_{p,q})$  est un ouvert dense qui rencontre par conséquent l'ouvert non vide  $p(U_{\mathbf{x}}) \cap p(U_{\mathbf{y}})$ . Il existe alors  $\mathbf{z} \in \mathcal{P} \setminus p(C_{p,q}) \cap p(U_{\mathbf{x}}) \cap p(U_{\mathbf{y}})$ . On obtient alors que  $p^{-1}(\{\mathbf{z}\})$  est une droite incluse dans  $\mathbf{R}^3 \setminus C_{p,q}$  contenant un point de  $U_{\mathbf{x}}$  et un point de  $U_{\mathbf{y}}$ . Il suffit alors de concaténer un chemin continu dans  $U_{\mathbf{x}}$  de  $\mathbf{x}$  au point de la droite dans  $U_{\mathbf{x}}$  puis on parcourt la droite jusqu'au point de la droite dans  $U_{\mathbf{y}}$  que l'on concatène avec un chemin dans  $U_{\mathbf{y}}$  de ce point à  $\mathbf{y}$  pour conclure que  $\mathbf{R}^3 \setminus C_{p,q}$ .

Enfin, via  $s$ , on a  $\mathbf{R}^3 \setminus C_{p,q}$  homéomorphe à  $\mathbf{S}^3 \setminus (\{N\} \cup s(C_{p,q}))$  et donc  $\mathbf{S}^3 \setminus (\{N\} \cup s(C_{p,q}))$  et a fortiori  $\mathbf{S}^3 \setminus s(C_{p,q})$ . En effet, si on doit relier deux points  $\mathbf{y}, \mathbf{z}$  distincts de  $N$ , on peut le faire dans  $\mathbf{S}^3 \setminus (\{N\} \cup s(C_{p,q}))$  et si un des points est  $N$  (disons  $\mathbf{y}$ ), comme  $s(C_{p,q})$  est un fermé de  $\mathbf{S}^3 \setminus \{N\}$  donc de  $\mathbf{S}^3$  car  $s$  est un homéomorphisme, on peut trouver un voisinage de  $N$  dans  $\mathbf{S}^3$  connexe par arcs et relier  $N$  à un point  $\mathbf{x}$  distincts de  $N$  dans ce voisinage et on applique alors la connexité par arcs de  $\mathbf{S}^3 \setminus (\{N\} \cup s(C_{p,q}))$  pour trouver un chemin continu de  $\mathbf{x}$  à  $\mathbf{z}$  dans  $\mathbf{S}^3 \setminus (\{N\} \cup s(C_{p,q}))$ . On a ainsi le résultat!

Enfin, on a pour tout  $\mathbf{x} \notin C_{p,q}$  que

$$\pi_1(\mathbf{R}^3 \setminus C_{p,q}, \mathbf{x}) \cong \pi_1(\mathbf{S}^3 \setminus (\{N\} \cup s(C_{p,q})), s(\mathbf{x})).$$

Mais,  $s(C_{p,q})$  est un fermé de  $\mathbf{S}^3$  qui est une sous-variété  $C^\infty$  de dimension 3. Par conséquent,  $\mathbf{S}^3 \setminus s(C_{p,q})$  est un ouvert de  $\mathbf{S}^3$  et donc également une sous-variété  $C^\infty$  de dimension 3. L'exercice 5 du TD IV fournit alors immédiatement (comme conséquence de Van Kampen) que

$$\pi_1(\mathbf{S}^3 \setminus (\{N\} \cup s(C_{p,q})), s(\mathbf{x})) \cong \pi_1(\mathbf{S}^3 \setminus s(C_{p,q}), s(\mathbf{x}))$$

et on a donc bien

$$\pi_1(\mathbf{R}^3 \setminus C_{p,q}, \mathbf{x}) \cong \pi_1(\mathbf{S}^3 \setminus s(C_{p,q}), N)$$

où l'on a pu changer de point base par connexité par arcs de  $\mathbf{S}^3 \setminus s(C_{p,q})$ .

5. On pose ici

$$\varphi : \begin{cases} A & \longrightarrow & \mathbf{S}^1 \times \mathbf{B}^2 \\ (x_1, x_2, x_3, x_4) & \longmapsto & \left( \frac{x_1}{\sqrt{x_1^2 + x_2^2}}, \frac{x_2}{\sqrt{x_1^2 + x_2^2}}, \sqrt{2}x_3, \sqrt{2}x_4 \right) \end{cases}$$

qui est bien définie car  $0 \neq x_1^2 + x_2^2 \geq \frac{1}{2}$ ,  $\left( \frac{x_1}{\sqrt{x_1^2 + x_2^2}}, \frac{x_2}{\sqrt{x_1^2 + x_2^2}} \right) \in \mathbf{S}^1$  et  $2(x_3^2 + x_4^2) \leq 1$  car  $x_3^2 + x_4^2 \leq \frac{1}{2}$ . Par ailleurs,  $\varphi$  est clairement continue et injective<sup>5</sup>. Vérifions alors que  $\varphi$  est surjective. Pour ce faire, soit  $((x, y), (z, t)) \in \mathbf{S}^1 \times \mathbf{B}^2$ . On pose alors  $x_3 = \frac{z}{\sqrt{2}}$  et  $x_4 = \frac{t}{\sqrt{2}}$ . On cherche alors  $x_1$  et  $x_2$  tels que  $x_1^2 + x_2^2 + x_3^2 + x_4^2 = 1$  et  $x_1^2 + x_2^2 \geq \frac{1}{2}$ . On a alors nécessairement  $x_1^2 + x_2^2 = 1 - \frac{z^2 + t^2}{2} \geq \frac{1}{2}$  car  $(z, t) \in \mathbf{B}^2$ . Il suffit alors de poser  $x_1 = \sqrt{1 - \frac{z^2 + t^2}{2}}$  et  $x_2 = y\sqrt{1 - \frac{z^2 + t^2}{2}}$  pour obtenir un antécédent! On a ainsi une bijection continue avec  $A$  un fermé dans  $\mathbf{S}^3$  compact donc compact et  $\mathbf{S}^1 \times \mathbf{B}^2$  séparé donc un homéomorphisme<sup>6</sup>.

3. Dans le cas  $N$  fermée, on peut adapter la démonstration qui suit. Par le théorème de Whitney, on peut supposer que  $M$  est une sous-variété de  $\mathbf{R}^{2n}$ . Pour tout  $m \in M \setminus N$ , on pose  $U_m$  l'ensemble des points  $m' \in M$  tels que pour tout  $\varepsilon > 0$ , il existe  $m'' \in M$  dans la boule de centre  $m$  et de rayon  $\varepsilon$  qu'on peut relier à  $m$  par un chemin continu dans  $M \setminus N$ . Noter qu'on peut avoir  $m' \in N$ . On montre alors en utilisant le fait que  $M$  est localement difféomorphe à un ouvert de  $\mathbf{R}^n$  que  $U_m$  est ouvert (en raisonnant comme ci-dessous et en distinguant selon que  $m'$  est dans  $N$  ou non) et fermé dans  $M$  si bien que  $U_m = M$ , ce qui permet de conclure par locale connexité par arcs de  $M \setminus N$  qui est une sous-variété de dimension  $n$  en tant qu'ouvert de  $M$ .

4. Ici cela se voit directement à la main mais en fait il s'agit d'un résultat plus général : toute application linéaire  $f : E \rightarrow F$  surjective avec  $F$  de dimension finie est ouverte, conséquence par exemple du théorème de l'application ouverte de Banach-Schauder.

5. En effet, si  $x_3 = x'_3$  et  $x_4 = x'_4$ , alors  $x_1^2 + x_2^2 = (x'_1)^2 + (x'_2)^2$  car  $x_1^2 + x_2^2 + x_3^2 + x_4^2 = (x'_1)^2 + (x'_2)^2 + (x'_3)^2 + (x'_4)^2 = 1$  et de

$$\left( \frac{x_1}{\sqrt{x_1^2 + x_2^2}}, \frac{x_2}{\sqrt{x_1^2 + x_2^2}} \right) = \left( \frac{x'_1}{\sqrt{(x'_1)^2 + (x'_2)^2}}, \frac{x'_2}{\sqrt{(x'_1)^2 + (x'_2)^2}} \right)$$

on tire  $x_1 = x'_1$  et  $x_2 = x'_2$ .

6. On pouvait aussi exhiber l'inverse qui transparaît du raisonnement ci-dessus.

On procède évidemment de même avec

$$\psi : \begin{cases} B & \longrightarrow \\ (x_1, x_2, x_3, x_4) & \longmapsto \left( \frac{x_3}{\sqrt{x_3^2 + x_4^2}}, \frac{x_4}{\sqrt{x_3^2 + x_4^2}}, \sqrt{2}x_1, \sqrt{2}x_2 \right) \end{cases} \quad \mathbf{S}^1 \times \mathbf{B}^2$$

car  $x_1^2 + x_2^2 \leq \frac{1}{2}$  équivaut à  $x_3^2 + x_4^2 \geq \frac{1}{2}$  pour en déduire que  $B \cong \mathbf{S}^1 \times \mathbf{B}^2$ .

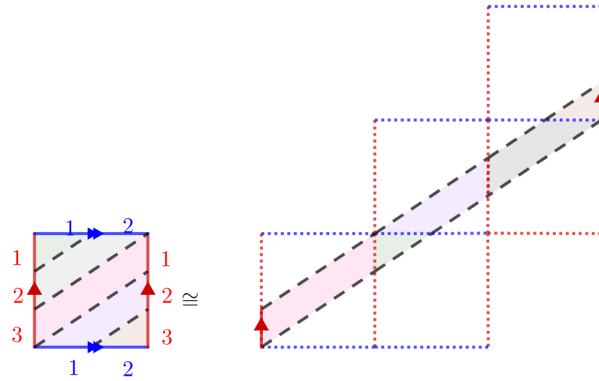
On pose finalement  $\theta : (\mathbf{S}^1 \times \mathbf{B}^2) \sqcup (\mathbf{S}^1 \times \mathbf{B}^2) \rightarrow \mathbf{S}^3$  définie sur la première copie de  $\mathbf{S}^1 \times \mathbf{B}^2$  par  $\varphi^{-1}$  et sur la seconde copie par  $\psi^{-1}$ . On obtient ainsi par définition une application continue et clairement surjective car  $A \cup B = \mathbf{S}^3$ . Par ailleurs, deux points  $((x_i, y_i, z_i, t_i), i)$  et  $((x_j, y_j, z_j, t_j), j)$  pour  $i, j \in \{1, 2\}$  ont la même image si, et seulement si, ils sont égaux ou  $\{i, j\} = \{1, 2\}$  et  $i_1(x_1, y_1, z_1, t_1) = i_2(z_2, t_2, x_2, y_2)$ , autrement dit si et seulement s'ils sont équivalents pour  $\mathcal{R}$ . Ainsi, on obtient au quotient une bijection continue  $\tilde{\theta} : (\mathbf{S}^1 \times \mathbf{B}^2) \cup_{\mathbf{S}^1 \times \mathbf{S}^1} (\mathbf{S}^1 \times \mathbf{B}^2) \rightarrow \mathbf{S}^3$ . On peut conclure soit en montrant que  $(\mathbf{S}^1 \times \mathbf{B}^2) \cup_{\mathbf{S}^1 \times \mathbf{S}^1} (\mathbf{S}^1 \times \mathbf{B}^2)$  est compact<sup>7</sup> et  $\mathbf{S}^3$  est séparé soit en exhibant la réciproque qui à tout point de  $\mathbf{S}^3$  associe son image par  $\varphi$  s'il est dans  $A$  et son image par  $\psi$  s'il est dans  $B$  que l'on compose avec la projection canonique. On obtient une application continue dont on vérifie qu'elle est la réciproque de  $\tilde{\theta}$ .

► **REMARQUE** – On peut montrer plus généralement de même que

$$\mathbf{S}^n \cong (\mathbf{S}^q \times \mathbf{B}^p) \bigcup_{\mathbf{S}^{p-1} \times \mathbf{S}^q} (\mathbf{S}^{p-1} \times \mathbf{B}^{q+1})$$

pour tous  $(p, q)$  entiers tels que  $n = p + q$  et  $p \geq 1$ .

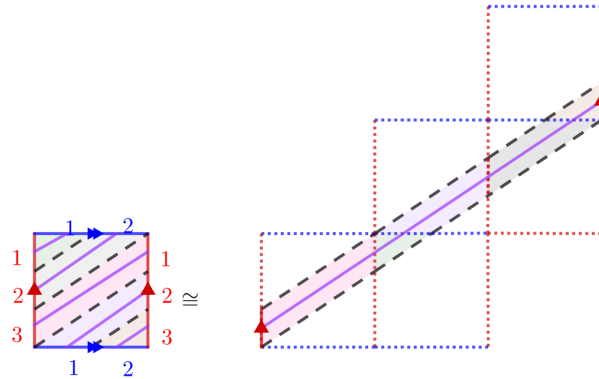
6. On utilise la représentation du tore par un carré dans lequel on identifie les côtés opposés. On procède alors en réarrangeant les morceaux de ce carré délimités par les segments de  $C_{p,q}$  (en pointillés ci-dessous) et en recollant le long des identifications sur les bords de façon à obtenir un cylindre, de type d'homotopie d'un cercle. On fournit ici des dessins dans le cas de  $C_{2,3}$ .



On obtient finalement que

$$\pi_1(\mathbf{T}^2 \setminus C_{p,q}, x) = \langle c \rangle \cong \mathbf{Z}$$

pour tout  $x \in \mathbf{T}^2 \setminus C_{p,q}$ . On donne dans le cas de  $C_{2,3}$  un générateur  $c$  en violet :



7. Car l'union disjointe l'est et le quotient séparé.

On peut raisonner un peu différemment en voyant  $\mathbf{T}^2$  à travers  $\tilde{\psi}$  avec les notations de la question 3. On a ainsi  $C_{p,q} = \left\{ \frac{1}{\sqrt{2}}(z^q, z^p) : z \in \mathbf{S}^1 \right\}$  et  $A \cap B = \tilde{\psi}(\mathbf{T}^2) = \left\{ \frac{1}{\sqrt{2}}(z, w) : (z, w) \in \mathbf{S}^1 \times \mathbf{S}^1 \right\} \cong \mathbf{T}^2$ . On vérifie alors que

$$f : \begin{cases} A \cap B & \longrightarrow & \mathbf{S}^1 \times \mathbf{S}^1 \\ \frac{1}{\sqrt{2}}(z, w) & \longmapsto & \left( \sqrt{2}^{q-p} \frac{z^p}{w^q}, \sqrt{2}^{v-u} \frac{w^u}{z^v} \right) \end{cases}$$

où l'on a choisi  $u, v$  entiers tels que  $pu - qv = 1$  par la relation de Bézout car  $p$  et  $q$  sont premiers entre eux. On obtient une application bien définie et on va en calculer la réciproque. Soient  $(z_1, z_2) \in \mathbf{S}^1 \times \mathbf{S}^1$ . On cherche  $\frac{1}{\sqrt{2}}(z, w) \in A \cap B$  tels que  $z_1 = \sqrt{2}^{q-p} \frac{z^p}{w^q}$  et  $z_2 = \sqrt{2}^{v-u} \frac{w^u}{z^v}$ . On a alors

$$z_1^u z_2^q = \frac{1}{\sqrt{2}} z \quad \text{et} \quad z_1^v z_2^p = \frac{1}{\sqrt{2}} w.$$

Ainsi, on a bien un inverse continu et  $f$  est un homéomorphisme dont on vérifie que  $f(C_{p,q}) = \{1\} \times \mathbf{S}^1$ . Il s'ensuit que  $\mathbf{T}^2 \setminus C_{p,q}$  est homéomorphe à un cylindre et on retrouve le résultat! On peut prendre comme générateur de  $\pi_1(\mathbf{T}^2 \setminus C_{p,q})$  tout lacet  $t \mapsto (z_0, e^{2i\pi t})$  pour  $z_0 \in \mathbf{S}^1 \setminus \{1\}$ .

7. On va appliquer le théorème de Van Kampen pour calculer le groupe fondamental de  $\mathbf{S}^3 \setminus s(C_{p,q})$  et utiliser la question 4. On fait alors appel à la question 5. En effet, on peut inclure  $U = A \cap \mathbf{S}^3 \setminus s(C_{p,q})$  dans un ouvert  $U'$  connexe par arcs<sup>8</sup> de  $\mathbf{S}^3 \setminus s(C_{p,q})$  qui se rétracte par déformation forte sur  $U$ . On a alors que  $U'$  a même type d'homotopie que  $U$ . Mais, on a vu que  $A$  est homéomorphe à  $\mathbf{S}^1 \times \mathbf{B}^2$  et la déformation forte induite par la rétraction radiale de  $\mathbf{B}^2$  fournit une rétraction forte  $r : A \rightarrow \mathbf{S}^1 \times \{0\}$  donnée par  $(z, w) \mapsto \left( \frac{z}{|z|}, 0 \right)$  si on représente le point  $(x_1, x_2, x_3, x_4)$  de  $\mathbf{S}^3$  par  $(z := x_1 + ix_2, w := x_3 + ix_4) \in \mathbf{C}^2$ . Cette rétraction par déformation forte fournit une rétraction par déformation forte de  $U'$  sur  $\mathbf{S}^1 \times \{0\}$ . Par ailleurs,  $U'$  est connexe par arcs par les mêmes arguments que précédemment et on en déduit que  $\pi_1(U') \cong \mathbf{Z}$  et on peut considérer un générateur  $a$  qui fait un tour de la première copie de  $\mathbf{S}^1$  du bord  $\mathbf{S}^1 \times \mathbf{S}^1$  le long duquel on recolle  $A$  et  $B$ . Ce bord est un tore sur lequel vit  $s(C_{p,q})$ .

On procède de même avec  $V = B \cap \mathbf{S}^3 \setminus s(C_{p,q})$  dans un ouvert  $V'$  connexe par arcs de  $\mathbf{S}^3 \setminus s(C_{p,q})$  qui se rétracte par déformation forte sur  $V$  qui se rétracte lui-même par déformation forte sur  $\{0\} \times \mathbf{S}^1$ . On obtient que  $\pi_1(V') \cong \mathbf{Z}$  et on peut considérer un générateur  $b$  qui fait un tour de la deuxième copie de  $\mathbf{S}^1$  du bord  $\mathbf{S}^1 \times \mathbf{S}^1$  le long duquel on recolle  $A$  et  $B$ .

Finalement,  $U' \cap V'$  est connexe par arcs et se rétracte par déformation forte sur  $A \cap B = \left\{ \frac{1}{\sqrt{2}}(z, w) : (z, w) \in \mathbf{S}^1 \times \mathbf{S}^1 \right\}$  privé de  $s(C_{p,q})$  qui est bien inclus dans  $A \cap B$ . La question précédente fournit alors que  $U' \cap V'$  a le type d'homotopie de  $\mathbf{T}^2 \setminus C_{p,q}$  et que  $\pi_1(U' \cap V', x) = \langle c \rangle \cong \mathbf{Z}$ . On constate alors sur les dessins ci-dessus que  $a$  correspond au lacet rouge,  $b$  au lacet bleu et  $c$  au lacet violet. On peut donc se convaincre facilement, soit sur le dessin que  $i_{1,*}(c) = a^p$  et  $i_{2,*}(c) = a^p$  où  $i_{1,*} : \pi_1(U' \cap V') \rightarrow \pi_1(U')$  et  $i_{2,*} : \pi_1(U' \cap V') \rightarrow \pi_1(V')$  sont les applications induites par les inclusions, soit en utilisant la fin de la question précédente. En effet, un générateur de  $\pi_1(U' \cap V')$  est donné dans  $A \cap B$  par  $t \mapsto \frac{1}{\sqrt{2}}(z_0^u e^{2i\pi q t}, z_0^v e^{2i\pi p t})$  de sorte que si  $a$  est donné par  $t \mapsto (0, z_0^v e^{2i\pi t})$ , alors  $i_{1,*}(c)$  est donné par (à travers la rétraction forte)  $t \mapsto (0, z_0^v e^{2i\pi p t})$  correspond bien à  $a^p$  tandis que si  $b$  est donné par  $t \mapsto (z_0^u e^{2i\pi t}, 0)$ , alors  $i_{2,*}(c)$  est donné par (à travers la rétraction forte)  $t \mapsto (z_0^u e^{2i\pi q t}, 0)$  et correspond bien à  $b^q$ . Finalement, on conclut bien par le théorème de Van Kampen (par connexité par arcs, on peut prendre n'importe quel point base) que  $\pi_1(\mathbf{S}^3 \setminus s(C_{p,q}), N)$  admet comme présentation  $\langle a, b \mid a^p b^{-q} \rangle$ .

On reconnaît lorsque  $p = 1$  (le cas  $q = 1$  étant analogue)  $\langle a, b \mid a = b^q \rangle = \langle b \rangle \cong \mathbf{Z}$ . On retrouve bien le groupe fondamental de  $\mathbf{R}^3 \setminus \mathbf{S}^1$  qui est isomorphe au groupe fondamental de  $\mathbf{R}^3 \setminus \mathcal{D}$  pour une droite  $\mathcal{D}$  comme on l'a vu dans le dernier exercice du TD IV.

8. On a la relation  $a^p = b^q$  donc on a clairement que  $\langle a^p \rangle = \langle b^q \rangle$ . Pour vérifier que  $C$  est distingué (en raisonnant par récurrence sur la longueur des mots), il suffit d'établir que pour tout  $x \in C$

$$axa^{-1} \in C \quad \text{et} \quad bxb^{-1} \in C.$$

Par définition, on a  $x = a^{pk} = b^{q\ell}$  pour  $k, \ell \in \mathbf{Z}$ . Il s'ensuit que

$$axa^{-1} = aa^{pk}a^{-1} = a^{pk} = x \in C$$

et de même

$$bxb^{-1} = bb^{q\ell}b^{-1} = b^{q\ell} = x \in C$$

et on a bien que  $C$  est un sous-groupe normal de  $G_{p,q}$ .

On sait alors que

$$G_{p,q}/C = \langle a, b \mid a^p = b^q, a^p = b^q = e \rangle = \langle a, b \mid a^p = b^q = e \rangle = \langle a \mid a^p = e \rangle * \langle b \mid b^q = e \rangle = \mathbf{Z}/p\mathbf{Z} * \mathbf{Z}/q\mathbf{Z}.$$

8. On obtient un tore plein privé de  $C_{p,q}$  sur son bord et "on l'épaissit" un petit peu. En repassant dans  $\mathbf{R}^3$ , il suffit par exemple pour ce faire, pour tout  $x \in A \cap \mathbf{S}^3 \setminus s(C_{p,q}) \cong \mathbf{T} \setminus C_{p,q}$  où  $\mathbf{T}$  désigne le tore plein, d'agrandir le segment  $[0, x]$  en un segment  $[0, x']$  avec  $[x, x']$  de longueur  $\varepsilon > 0$ .



9. Par définition de l'abélianisé<sup>9</sup>, on a

$$(G_{p,q}/C)^{ab} = \langle a, b \mid a^p = b^q = e \rangle / \langle \langle aba^{-1}b^{-1} \rangle \rangle = \langle a, b \mid a^p = b^q = e, ab = ba \rangle = \mathbb{Z}/p\mathbb{Z} \times \mathbb{Z}/q\mathbb{Z}.$$

Ainsi, le produit  $pq$  est déterminé par  $G_{p,q}$ . Montrons alors que  $\max(p, q)$  aussi, ce qui déterminera  $p$  et  $q$ .

Soit  $m$  un élément de torsion de  $G_{p,q}/C$ . Montrons par récurrence sur la longueur du mot  $m$  que  $m$  est conjugué à un élément de torsion de  $\mathbb{Z}/p\mathbb{Z}$  ou de  $\mathbb{Z}/q\mathbb{Z}$ . C'est clair pour le mot vide et pour un mot de longueur 1, car un tel mot est dans  $\mathbb{Z}/p\mathbb{Z}$  ou dans  $\mathbb{Z}/q\mathbb{Z}$ . Supposons alors le résultat pour les mots de longueur  $k < n$  et que  $m = w_1 \cdots w_n$  est de longueur  $n$  et de torsion dans  $G_{p,q}/C$ . Il existe alors un entier  $s$  tel que  $m^s$  soit le mot vide. Cela implique nécessairement que  $w_n = w_1^{-1}$  et  $m$  doit être de la forme  $w_1 \cdots w_{n-1} w_1^{-1}$  et  $m$  est donc conjugué au mot  $w_2 \cdots w_{n-1}$  de longueur  $< n$  et de torsion. On conclut alors par hypothèse de récurrence!

Finalement, un mot de torsion  $m$  de  $G_{p,q}/C$  est conjugué à un élément de torsion dans  $\mathbb{Z}/p\mathbb{Z}$  ou dans  $\mathbb{Z}/q\mathbb{Z}$ , si bien qu'il est d'ordre divisant  $p$  ou  $q$  et ainsi tout élément de torsion est d'ordre inférieur à  $\max(p, q)$ . Il est alors immédiat de construire un élément de torsion de cet ordre si bien que le maximum des ordres des éléments de torsion de  $G_{p,q}/C$  est  $\max(p, q)$ . Ainsi,  $G_{p,q}$  détermine  $p$  et  $q$ . On en déduit que si  $G_{p,q} \cong G_{p',q'}$  avec  $1 < p < q$  et  $1 < p' < q'$  et  $\text{pgcd}(p, q) = \text{pgcd}(p', q')$ , alors  $(p, q) = (p', q')$ . Finalement, tous les  $\mathbb{R}^3 \setminus C_{p,q}$  avec  $1 < p < q$  et  $\text{pgcd}(p, q) = 1$  ont des  $\pi_1$  à 2 non isomorphes et sont par conséquent à 2 non homéomorphes!

10. On a une action de groupe et donc une bijection entre  $H_1/\pi_1(X, x)$  et l'orbite de 1, qui est  $\{1, \dots, n\}$  tout entier puisque l'action est transitive. On en déduit que  $H_1/\pi_1(X, x)$  est de cardinal  $n$  et donc que  $H_1$  est d'indice  $n$ . Soit alors  $\pi : \tilde{X} \rightarrow X$  un revêtement universel (qui existe et est unique à isomorphisme près grâce aux hypothèses de l'énoncé). Le revêtement associé à  $H_1$  est alors, à isomorphisme près, le revêtement  $p_{H_1} : E := H_1/\tilde{X} \rightarrow X$ . Il est à  $n$  feuillets car  $H_1$  est d'indice  $n$  et est galoisien si, et seulement si,  $H_1$  est distingué dans  $\pi_1(X, x)$ . On sait d'après le cours qu'on a une bijection entre  $p^{-1}(x)$  et  $p_*(\pi_1(E, \tilde{x}))/\pi_1(X, x)$  pour tout  $\tilde{x} \in E$  tel que  $p(\tilde{x}) = x$ . On sait aussi que tous les  $p_*(\pi_1(E, \tilde{x}))$  sont conjugués à  $H_1$ , autrement dit sont le stabilisateur d'un élément  $k \in \{1, \dots, n\}$ . On choisit alors d'identifier  $k \in \{1, \dots, n\}$  avec l'unique  $\tilde{x} \in E$  tel que  $p(\tilde{x}) = x$  et tel que  $p_*(\pi_1(E, \tilde{x}))$  soit le stabilisateur de  $k$ . Ainsi,  $p_*(\pi_1(E, 1)) = H_1$ .

Réciproquement, si  $p : E \rightarrow X$  est un revêtement connexe à  $n$  feuillets, alors  $p^{-1}(x)$  est de cardinal  $n$  et en l'identifiant à  $\{1, \dots, n\}$ , l'action de  $\pi_1(X, x)$  sur la fibre fournit une action transitive (car on a supposé  $E$  connexe et comme  $p$  est un revêtement et  $X$  est connexe par arcs,  $E$  est connexe, localement connexe par arcs donc connexe par arcs) de  $\pi_1(X, x)$  sur  $\{1, \dots, n\}$ , autrement dit un morphisme  $\rho_p \in \text{Hom}_{\text{tr}}(\pi_1(X, x), \mathfrak{S}_n)$ . Ce morphisme est défini de la façon suivante. On considère  $[\gamma]$  avec  $\gamma$  un lacet en  $x$  et  $k \in \{1, \dots, n\}$  qui correspond à un élément de la fibre  $p^{-1}(x)$ . On a alors que  $\rho_p([\gamma])(k)$  qui est défini comme étant l'extrémité de l'unique relevé de  $\gamma$  par  $p$  d'origine  $k$ . Noter que ce morphisme n'est pas unique mais dépend de la numérotation choisie pour les éléments de  $p^{-1}(x)$ . Cela conduit à la définition de la question suivante.

11. Tout isomorphisme de revêtement  $f$  induit par restriction une bijection entre  $p^{-1}(x)$  et  $p'^{-1}(x)$  car  $p \circ f = p'$  et  $f$  est un homéomorphisme. En identifiant  $p^{-1}(x)$  et  $p'^{-1}(x)$  avec  $\{1, \dots, n\}$ , cela fournit un élément  $\sigma \in \mathfrak{S}_n$ . Maintenant, si  $\tilde{\gamma}$  est l'unique relèvement de  $\gamma$  d'extrémité  $k$  par  $p'$ ,  $f \circ \tilde{\gamma}$  est l'unique relèvement de  $\gamma$  par d'extrémité  $\sigma(k)$  par  $p$ . Ainsi, pour tout  $k \in \{1, \dots, n\}$  et tout  $[\gamma] \in \pi_1(X, x)$ ,

$$\rho_p([\gamma])(\sigma(k)) = f \circ \tilde{\gamma}(1) = f(\rho_{p'}([\gamma])(k)) = \sigma(\rho_{p'}([\gamma])(k)).$$

Ainsi, on a bien  $\rho_p([\gamma]) = \sigma \rho_{p'}([\gamma]) \sigma^{-1}$ .

Réciproquement, supposons que l'on ait  $\rho_p([\gamma]) = \sigma \rho_{p'}([\gamma]) \sigma^{-1}$  pour deux revêtements connexes à  $n$  feuillets. On a alors en prenant la numérotation de la question 10. que  $p_*(\pi_1(E, 1))$  est le stabilisateur de 1 par  $\rho_p$  et que  $p'_*(\pi_1(E', 1))$  est le stabilisateur de 1 par  $\rho_{p'}$ . De la relation  $\rho_p([\gamma]) = \sigma \rho_{p'}([\gamma]) \sigma^{-1}$ , on en déduit que  $p'_*(\pi_1(E', 1))$  est le stabilisateur de  $k = \sigma(1)$  par  $\rho_p$ , à savoir  $p_*(\pi_1(E, k))$ . Ainsi,  $p'_*(\pi_1(E', 1)) = p_*(\pi_1(E, k))$  et on sait d'après le cours que cela implique<sup>10</sup> l'existence d'un isomorphisme de revêtement  $f : E \rightarrow E'$  tel que  $f(1) = k$ .

Ainsi, on a une bijection entre l'ensemble des classes d'isomorphisme de revêtements connexes à  $n$  feuillets et les classes d'équivalences de morphismes de  $\text{Hom}_{\text{tr}}(\pi_1(X, x), \mathfrak{S}_n)$  pour tout  $n \in \mathbb{N}$ .

12. Il est clair que le complémentaire du noeud de trèfle satisfait les hypothèses des questions précédentes et il s'agit d'après les questions précédentes de trouver tous les morphismes de  $G_{2,3} = \langle a, b \mid a^2 = b^3 \rangle \rightarrow \mathfrak{S}_3$  dont l'image agit transitivement sur  $\{1, 2, 3\}$ , modulo renumérotation. Un tel morphisme  $\rho$  est défini par l'image de  $a$  et par celle de  $b$  telles que  $\rho(a)^2 = \rho(b)^3$ . Il faut donc que le cube de l'image de  $b$  soit le carré d'un élément. On a alors que  $\rho(b)$  ne peut être que l'identité ou un 3-cycles<sup>11</sup>. Si  $\rho(b) = \text{Id}$ , alors  $\rho(a)^2 = \text{Id}$  et donc est soit l'identité soit une transposition et dans tous les cas, le groupe image (qui est soit trivial soit à deux éléments engendré par une transposition) n'agit pas transitivement sur  $\{1, 2, 3\}$ . On doit donc avoir  $\rho(b) = (123)$  ou  $(132)$ . Quitte à renuméroter (ce qui fournit des revêtements isomorphes), on peut donc fixer  $\rho(b) = (123)$ . On a alors que  $\rho(a)^2 = \text{Id}$  et on a deux possibilités. La première est  $\rho(a) = \text{Id}$ . Cela fournit un morphisme qui convient et qui correspond à une classe d'isomorphie de revêtement connexe à 3 feuillets du noeud de trèfles. Soit,  $\rho(a)$  est une transposition. On peut alors supposer que<sup>12</sup>  $\rho(a) = (12)$ . Cela fournit un second morphisme qui

9. Ici, il suffit de faire commuter  $a$  et  $b$ .

10. On relève (de façon unique) l'application  $p : E \rightarrow X$  par  $p'$  et on vérifie que le relèvement de  $p' : E' \rightarrow X$  par  $p$  est alors une réciproque, de sorte qu'on obtient bien un isomorphisme!

11. Je rappelle que  $\mathfrak{S}_3 = \{\text{Id}, (12), (13), (23), (123), (132)\}$ .

12. Car  $(123)(12)(132) = (23)$  et  $(132)(12)(123) = (13)$  donc les autres choix s'obtiennent par renumérotation!



convient et qui correspond à une autre classe d'isomorphie de revêtement connexe à 3 feuillets du noeud de trèfles. À isomorphisme près, on a donc tous les revêtements connexes à 3 feuillets et ce sans avoir déterminé un revêtement universel.

Reste à déterminer si ces deux revêtements sont galoisiens. Dans le premier cas, on sait que  $H_1 = p_*(\pi_1(E, 1))$  est le stabilisateur de 1. On voit alors que  $H_1$  est constitué des mots tels que la somme des puissances de  $b$  est congrue à 0 modulo 3 et que cette propriété est clairement stable par conjugaison. On a ainsi affaire à un revêtement galoisien. Dans le second cas, le fait que  $\rho(a)$  fixe 3 incite à considérer  $p_*(\pi_1(E, 3))$  qui est le stabilisateur de 3. On constate alors par exemple que

$$\rho\left((ab^2)^{-1}a(ab^2)\right) = \rho(b^{-2}ab^2) = (123)(12)(132) = (23)$$

qui ne fixe pas 3, alors que  $\rho(a) = (12)$  appartient au stabilisateur de 3. On en déduit que  $p_*(\pi_1(E, 3))$  n'est pas distingué et que le revêtement n'est pas galoisien!